

## Лекция 8

Темная материя. Рекомбинация электронов и последнее рассеяние фотонов. Эпоха реионизации. Температурная история Вселенной.

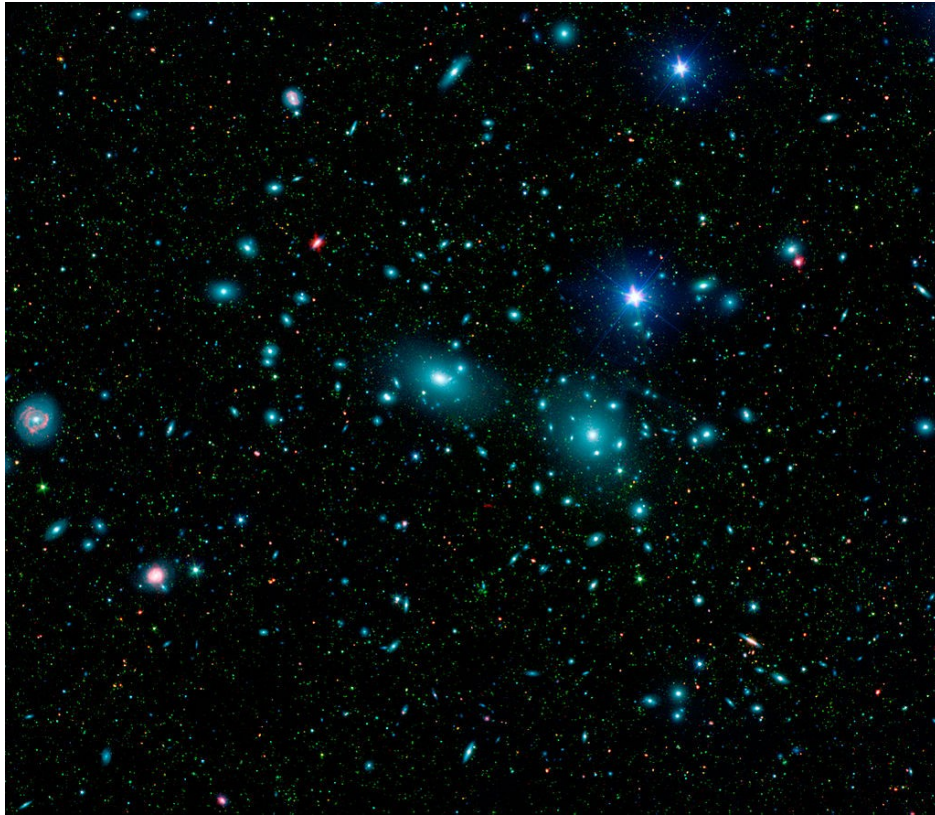
# Темная материя

## 1. Скорости галактик в скоплениях

Теорема о вириале:  $2\langle T \rangle = \langle U \rangle$ .

Фриц Цвикки, 1937. Скопление Кома (Волосы Вероники): Масса скопления в десятки раз превышает массу видимого вещества. «Темная материя» – термин Цвикки.

F. Zwicky. 1937, ApJ, 86, 217.



## 2. Плоские кривые вращения галактик

Ожидается  $V \propto \sqrt{R}$

Туманность Андромеды (Хорес Бэбкок, 1939)

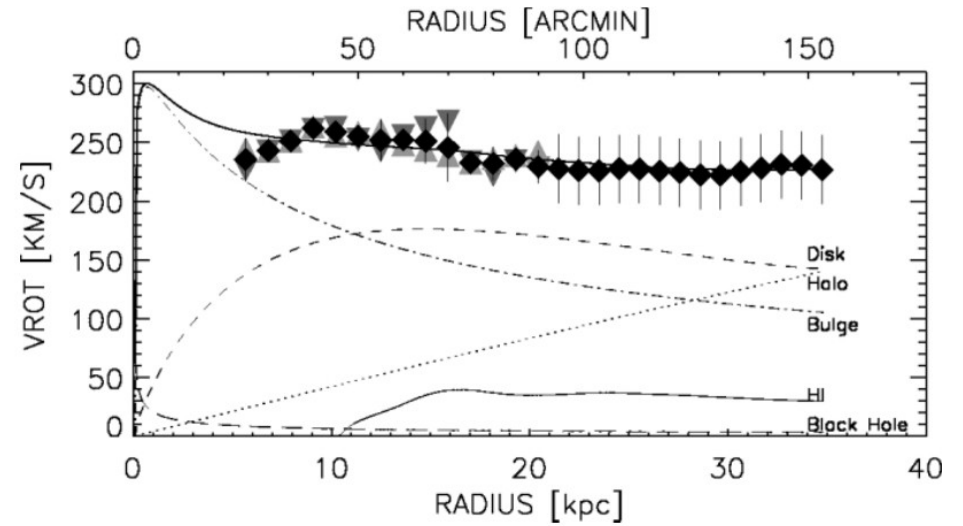
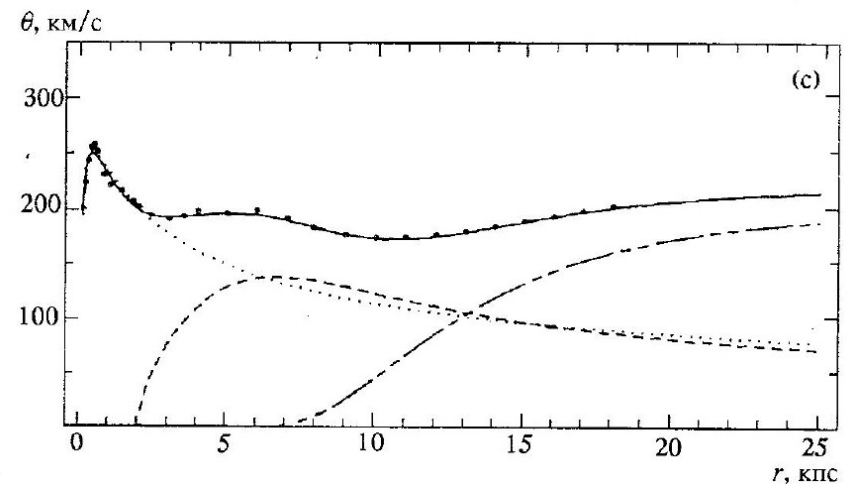


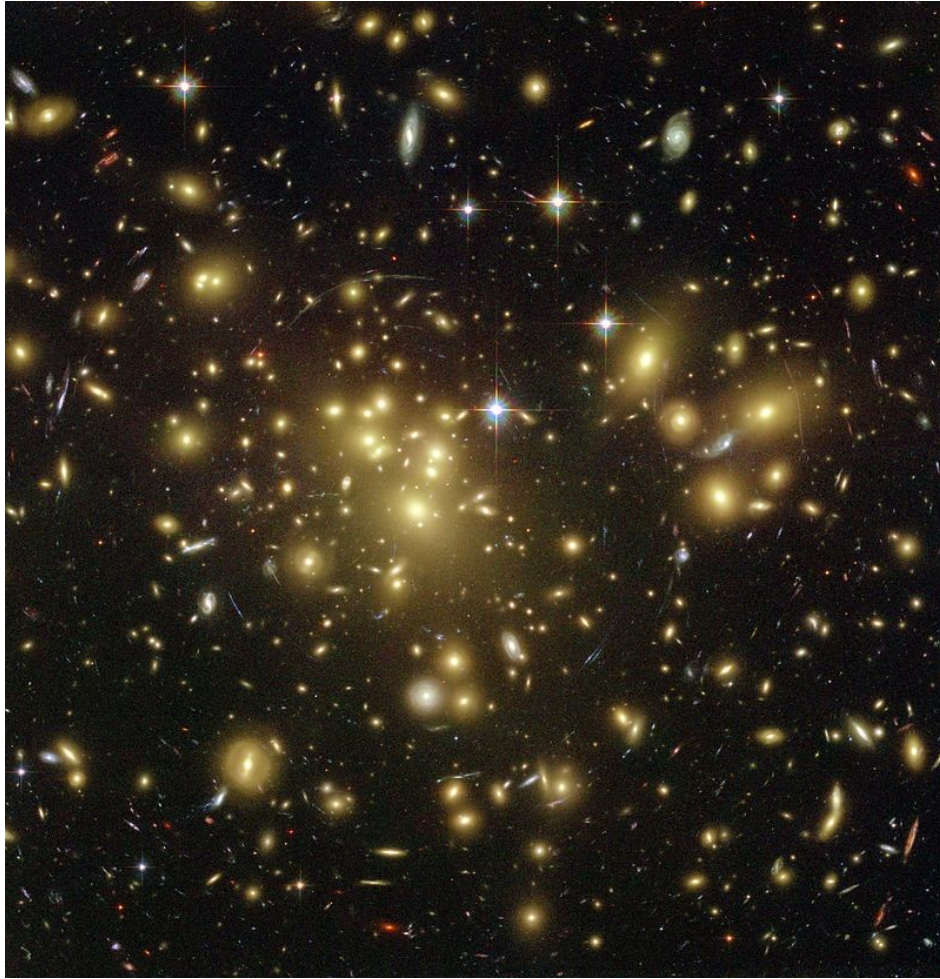
FIG. 2.—Rotation curve and mass model for M31. The new rotation velocities from the Effelsberg and GBT 100 m observations are for  $R > 21$  kpc.

## Млечный Путь



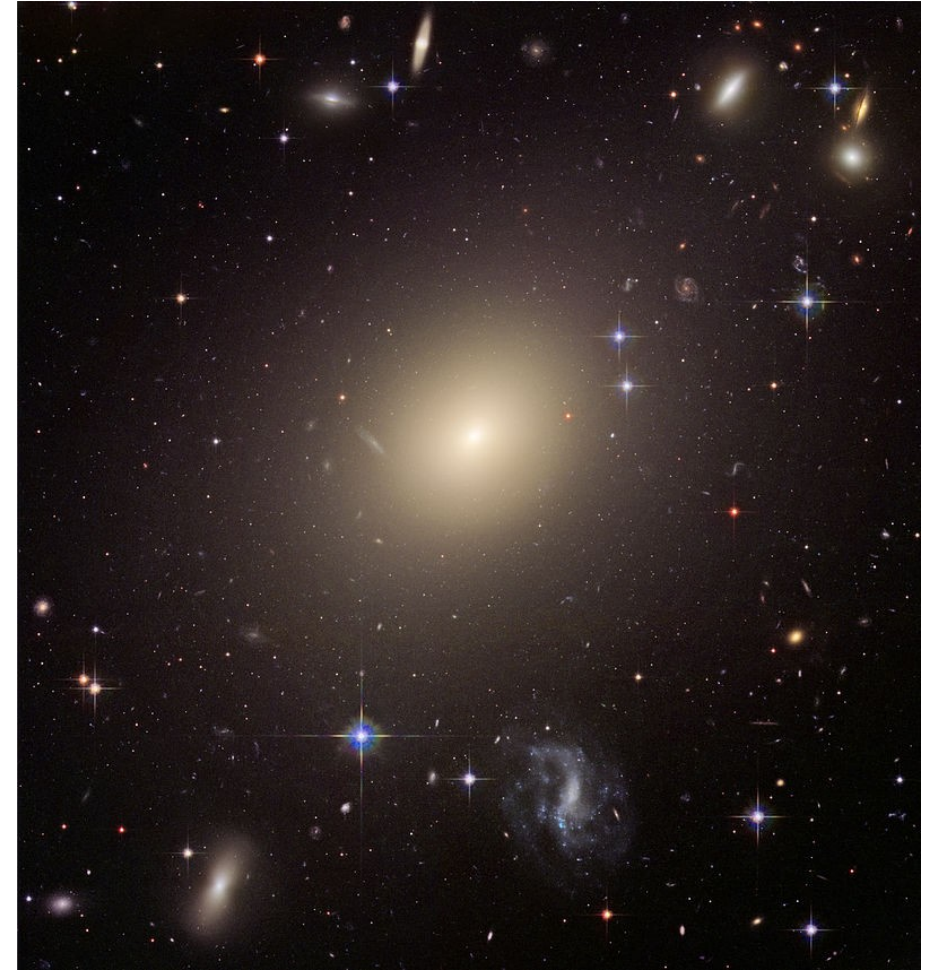
### 3. Сильное гравитационное линзирование скоплениями галактик

Дает результаты, согласующиеся с измерением скоростей в скоплениях галактик.



Скопления галактик Abell 1689. Снимок космического телескопа Хаббл (HST). Галактики самого скопления изображены жёлтым цветом. Галактики на заднем фоне (синие и красные) изогнуты в длинные дуги.

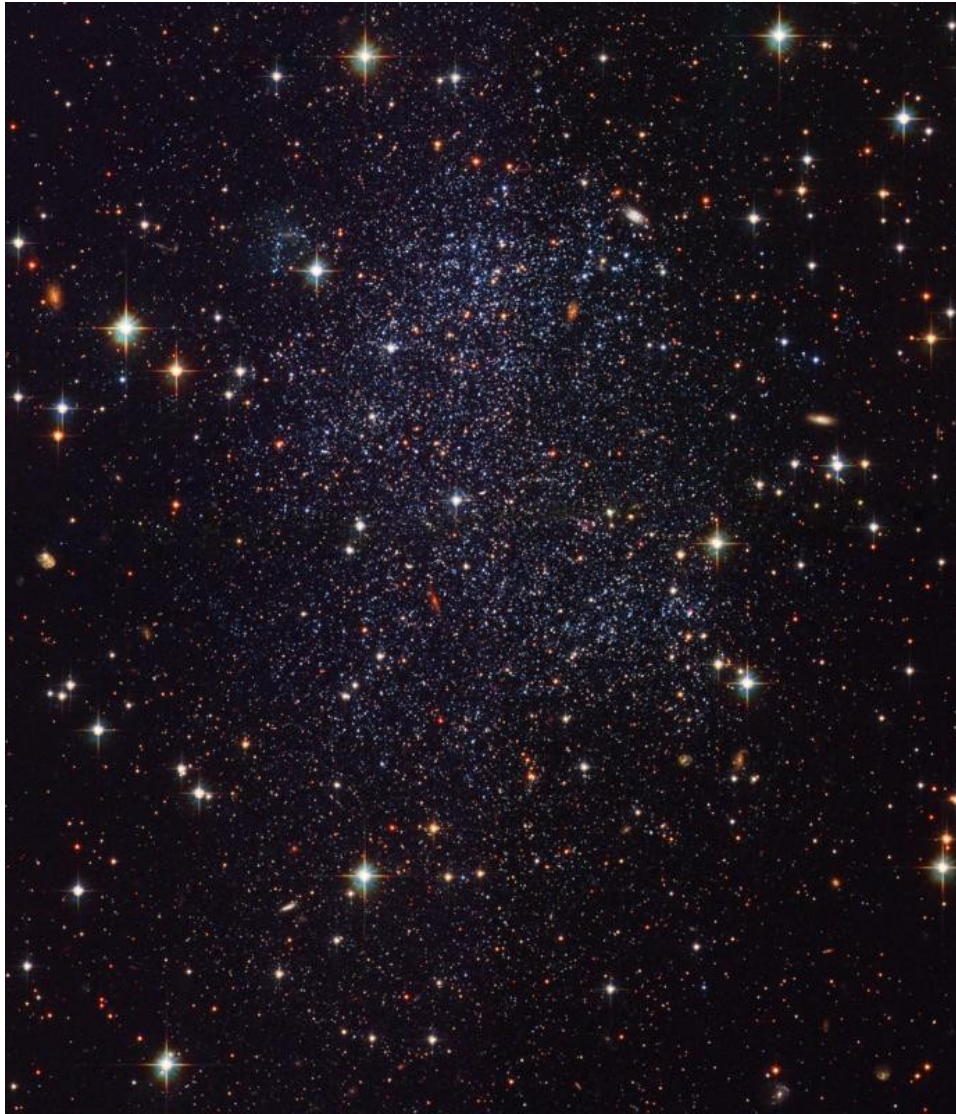
### 4. Удержание горячего газа эллиптическими галактиками



Эллиптическая галактика ESO 325-G004  
Гравитационного поля одних только звезд и газа недостаточно для удержания горячего газа эллиптической галактики.

## 5. Карликовые галактики низкой поверхностной яркости

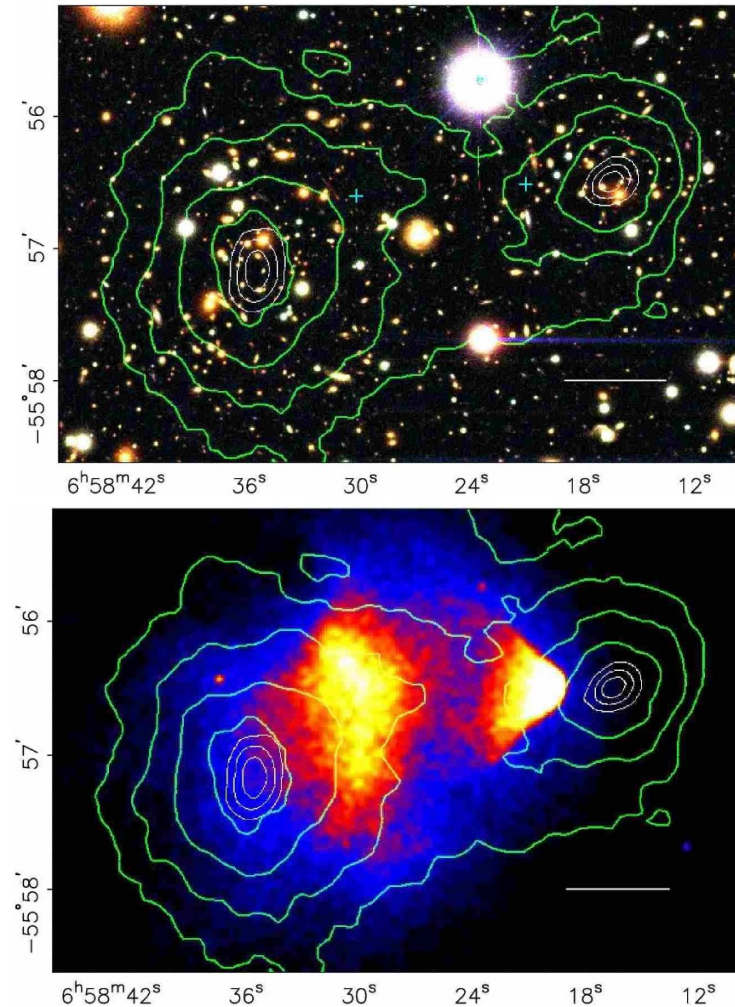
Состоят на  $> 95\%$  из невидимого вещества.



Карликовая неправильная галактика в Стрельце.

Млечный путь имеет не менее 6 ultra-faint спутников с отношением долей массы темного вещества  $99.9\%$  (arXiv:0706.0516).

6. Сталкивающиеся кластеры галактик: распределение масс видимого вещества отличается от распределения масс, определенного по гравитационному линзированию: *модельно-независимое доказательство существования темной материи.*



1E0657-558 ( $z=0.296$ )

Нижняя картинка: распределение горячего газа (масс-доминирующая компонента), X-ray

Astrophys.J.648:L109-L113,2006 (astro-ph/0608407)

## Что такое темная материя?

*MOND (MOdified Newtonian Dynamics) и другие модифицированные теории гравитации.*

Темная материя – *не материя*, а модификация закона тяготения при малых ускорениях/больших расстояниях.

Проблема: недостаточная универсальность.

- Центр тяготения всегда должен быть совмещен с центром масс барионной материи, что иногда не так (например, в парах взаимодействующих галактических кластеров).
- Отношение гравитирующей материи к барионной материи должно быть постоянным, что не так.

*Темная материя – «материя»*

- Небарионная. Крупные объекты давали бы интенсивное микролинзирование, мелкие объекты – интенсивное поглощение и рассеяние света.
- Электрически нейтральная. Заряженная темная материя интенсивно излучала бы или поглощала э.м. излучение. Коллапсировала бы в крупные объекты.
- Если это частицы, то взаимодействуют только слабо и гравитационно – WIMPY (Weakly Interacting Massive Particles) в широком смысле. Или даже только гравитационно.

## Основные кандидаты

- Нейтралино – легчайшая SUSY частица, смесь суперпартнёров Z-бозона, фотона и бозона Хиггса.  
 $M_X \sim n \times GeV$
- Снейтрино – легчайший суперпартнер нейтрино.  
 $M_X \sim n \times GeV$
- Гравитино – суперпартнер гравитона ( $\Rightarrow$  гравитация – калибровочная теория по группе Пуанкаре  $\Rightarrow$  теория Эйнштейна-Картана).  
 $M_X \sim n \times GeV$
- Аксионоподобные частицы (аксион – решает проблему возможного сильного нарушения CP-инвариантности в хромодинамике).  
 $M_X \sim n \times keV$
- Всякая экзотика. Топологические солитоны, зеркальная материя, **микро/мини-дыры**. . .  $M_X = ?$

## Холодная, теплая и горячая ТМ

ТМ в какой-то момент замораживается (выходит из ТД равновесия) подобно нейтрино и нейтронам.

- *Холодная темная материя.* Выход из термодинамического равновесия при температуре  $T_f < M_X$ . Имеет место для  $M_X \gtrsim 30$  КэВ. WIMPы (Weakly Interacting Massive Particles) в узком смысле.
- *Теплая темная материя.* Частицы являются релятивистскими на момент замораживания, но являются нерелятивистскими на момент перехода от РД к ДМ стадии ( $T_{eq} \sim 1$  эВ). Массы между  $\gtrsim 1$  эВ и 30 КэВ (реально  $M_X < 1$  кэВ исключены).
- *Горячая темная материя.*  $M_X < 1$  эВ. Частицы УР на момент перехода от РД к ДМ стадии. Исключена, т.к. не допускает образования гравитационно связанных объектов (см. ниже).

## Ограничение по массе снизу для частиц теплой темной материи

В диапазоне температур  $M_X < T < T_f$  частицы уже свободны, но еще релятивистские.

Это приводит к сглаживанию начальных неоднородностей ТМ («перемешивание»)  $\Rightarrow$  амплитуды возмущений на малых масштабах малы.

Перемешивание прекращается при  $T \sim M_X$ . Размер горизонта на этот момент определяет размер областей сейчас, где возмущения плотности подавлены.

Т.к. для теплой ТМ перемешивание кончается на РД стадии  $\Rightarrow$

$$l_{Hor} \sim \frac{1}{H} = \frac{M_{Pl}^*}{T^2} \sim \frac{M_{Pl}^*}{M_X^2} \quad (8.1)$$

Этот размер сейчас:

$$l_{Hor,0} = l_{Hor}(1+z) = l_{Hor} \frac{T}{T_0} \sim \frac{M_{Pl}^*}{M_X T_0} \quad (8.2)$$

Электроны уже нерелятивистские ( $T \lesssim 30$  кэВ):

$$g_* = 2 + \frac{7}{8} \cdot 3 \cdot 2 \cdot \left(\frac{4}{11}\right)^{1/3} = 3.36 \Rightarrow \quad (8.3)$$

$$M_{pl}^* = \frac{M_{Pl}}{1.66\sqrt{g_*}} = 4 \cdot 10^{18} \text{ ГэВ.} \quad (8.4)$$

$$M_X \sim 1 \text{ эВ} \Rightarrow l_{Hor,0} \sim 100 \text{ Мпк} \quad (8.5)$$

– СЛИШКОМ МНОГО.

$$M_X \sim 1 \text{ кэВ} \Rightarrow l_{Hor,0} \sim 0.1 \text{ Мпк} \quad (8.6)$$

– разумно, т.к. приводит к структурам типа карликовых галактик  $\Rightarrow$

$$M_X \gtrsim 1 \text{ кэВ} \quad (8.7)$$

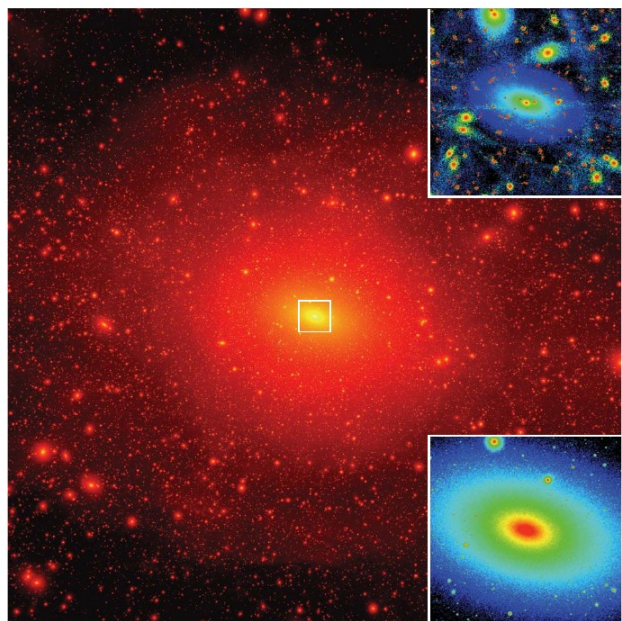
Теплая темная материя  $1 \text{ кэВ} < M_X < 30 \text{ кэВ}$  не исключена! (Горячая ТМ исключена)

Но предпочтительной считается холодная темная материя  $M_X > 30 \text{ кэВ}$

Ограничение сверху на массу «частиц»:

$M_X \lesssim 10^3 M_\odot$  – по разрушению звездных скоплений.

## Проблема каспов холодной темной материи



Темная материя должна концентрироваться в компактных сгущениях с «сингулярностями» в центре (cusps, каспы), но (почти) никаких признаков каспов в Галактике не обнаружено (их сильно меньше, чем ожидается)

## Закалка числа частиц холодной темной материи относительно аннигиляции

Предположения:

- $X$  стабильны
- Находятся в равновесии до температур  $T < M_X$
- $n_X - n_{\bar{X}} = 0$

Вопрос: Почему частицы темной материи выжили после охлаждения, но не проаннигилировали все?

При  $T < M_X$ , в равновесии

$$n_X = n_{\bar{X}} = g_X \left( \frac{M_X T}{2\pi} \right)^{3/2} e^{-M_X/T}, \mu_X = 0 \quad (8.8)$$

Уменьшение числа частиц ТМ в сопутствующем объеме возможно только за счет аннигиляции:

$X + \bar{X} \rightarrow$  легкие частицы.

После окончания аннигиляции количество частиц в сопутствующем объеме постоянно (с точностью до возможного распада  $X$ ).  $T_f = ?$

Время пробега до аннигиляции

$$\tau = \frac{1}{n_X} \frac{1}{\langle \sigma_{ann} v \rangle} \quad (8.9)$$

Условие замораживания числа частиц  $X$ :

$$\tau(T_f) = \frac{1}{n_X(T_f)} \frac{1}{\langle \sigma_{ann}(T_f) v(T_f) \rangle} = \frac{1}{H(T_f)} \quad (8.10)$$

Аннигиляция в  $s$ -волне (закон Бете):

$$\sigma_{ann}(v) = \frac{\sigma_0}{v}; \quad \sigma_0 = \text{const} \Rightarrow \langle \sigma_{ann} v \rangle = \sigma_0 \Rightarrow \quad (8.11)$$

$$\frac{1}{n_X} \frac{1}{\sigma_0} = \frac{1}{H(T_f)} = \left( \frac{T_f^2}{M_{pl}^*} \right)^{-1} \quad (\text{РД стадия!}) \quad (8.12)$$

Подставляем (8.8) в (8.12):

$$\frac{1}{\sigma_0} \frac{1}{g_X} \left( \frac{2\pi}{M_X T_f} \right)^{3/2} e^{M_X/T_f} = \frac{M_{Pl}^*}{T_f^2} \Rightarrow \quad (8.13)$$

$$\frac{M_X}{T_f} = \ln \left[ \frac{g_X}{(2\pi)^{3/2}} \sigma_0 M_X M_{Pl}^* \cdot \left( \frac{M_X}{T_f} \right)^{1/2} \right] \quad (8.14)$$

Уравнение типа

$$x = \ln(Ax^\alpha) \quad (8.15)$$

Оценим по масштабу  $A = ?$

Область взаимодействия  $a^2 \sim \sigma_0$

$$a \sim \lambda_C(M_X) = \frac{1}{M_X} \text{ с точностью до 2-3 порядков} \Rightarrow \\ \Rightarrow \sigma_0 M_X M_{Pl}^* \sim \frac{M_{Pl}^*}{M_X} \sim 10^{13}; \quad \ln(A) \sim 30 \quad (8.16)$$

Решаем (8.15) методом итераций,  $\alpha = 1/2$ :

$$x_0 = 1 \quad (8.17)$$

$$x_1 = \ln(A) \quad (8.18)$$

$$x_2 = \ln(A) + 0.5 \ln(\ln(A)) \quad (8.19)$$

$0.5 \ln(\ln(A)) \sim 1.5 \Rightarrow$  можно ограничиться приближением  $x_1$  («решение в логарифмическом порядке»)  $\Rightarrow$

$$\frac{M_X}{T_f} \approx \ln \left[ \frac{g_X}{(2\pi)^{3/2}} \sigma_0 M_X M_{Pl}^* \right] \Rightarrow \quad (8.20)$$

$$T_f = \frac{M_X}{\ln \left[ \frac{g_X}{(2\pi)^{3/2}} \sigma_0 M_X M_{Pl}^* \right]} \quad (8.21)$$

Знаменатель  $\gtrsim 30 \Rightarrow T_f \ll M_X \Rightarrow$  ТМ действительно холодная.

По формуле (8.21), подбирая подходящий вес  $g_*$ :

| $M_X$   | $T_f$     | $t_f$                    |
|---------|-----------|--------------------------|
| 1 ГэВ   | 0.048 ГэВ | $1 \cdot 10^{-4}$ сек    |
| 100 ГэВ | 3.9 ГэВ   | $1.6 \cdot 10^{-8}$ сек  |
| 10 ТэВ  | 330 ГэВ   | $2.2 \cdot 10^{-12}$ сек |

### Сечение аннигиляции частиц темной материи

Темная материя не успела проаннигилировать вся, прежде чем произошла закалка. Сколько осталось – зависит от  $\sigma_0$  и  $T_f$ .

Сначала найдем  $n_X(t_0)$  и  $\Omega_X$ , потом выразим из них  $\sigma v = \sigma_0 = \text{const}$ .

Условие замораживания ТМ против аннигиляции (8.10):

$$\tau(T_f) = \frac{1}{n_X(T_f)} \frac{1}{\langle \sigma_{ann}(T_f) v(T_f) \rangle} = \frac{1}{H(T_f)} \Rightarrow \quad (8.22)$$

$$n_X(T_f) = \frac{H(T_f)}{\langle \sigma_{ann} v \rangle} = \frac{1}{\sigma_0} \frac{T_f^2}{M_{Pl}^*} \quad (8.23)$$

Настоящее время:

$$n_X(t_0) = \left( \frac{a(t_f)}{a(t_0)} \right)^3 n_X(T_f) \quad (8.24)$$

$$sa^3 = \text{const} \Rightarrow s \sim \frac{1}{a^3} \Rightarrow \quad (8.25)$$

$$n_X(t_0) = \frac{s_0}{s(t_f)} n_X(t_f) \quad (8.26)$$

$$s_0 = \frac{4\pi}{90} (2T_\gamma^3 + \frac{7}{8} 2 \cdot 3 \cdot T_\nu^3) \approx 2.8 \cdot 10^3 \text{ см}^{-3} \quad (8.27)$$

$$s(t_f) = g_*(t_f) \frac{4\pi^2}{90} T_f^3 \Rightarrow \quad (8.28)$$

$$\begin{aligned} n_X(t_0) &= \frac{s_0}{s(t_f)} \frac{1}{\sigma_0 M_{Pl}^*} = \left\langle M_{Pl}^* = \frac{M_{Pl}}{1.66 \sqrt{g_*(t_f)}} \right\rangle = \\ &= \frac{1}{\sigma_0} \frac{s_0}{\sqrt{g_*(t_f)} T_f M_{Pl} \left( \frac{4\pi^2}{1.66 \cdot 90} \right)} = 3.8 \frac{s_0}{T_f \sigma_0 M_{Pl} \sqrt{g_*(t_f)}} \end{aligned} \quad (8.29)$$

$$\boxed{n_X(t_0) = 3.8 \frac{s_0}{T_f \sigma_0 M_{Pl} \sqrt{g_*(t_f)}}} \quad (8.30)$$

Найдем  $\Omega_X$ . Подставляя в (8.30)  $T_f$  из (8.21):

$$T_f = \frac{M_X}{\ln \left[ \frac{g_X}{(2\pi)^{3/2}} \sigma_0 M_X M_{Pl}^* \right]} \Rightarrow \quad (8.31)$$

$$\begin{aligned} \Omega_X &= 2 \cdot \frac{M_X n_X(t_0)}{\rho_c} = \setminus 2 - \text{из } X + \bar{X} \setminus = \\ &= \setminus s_0 = 2.8 \cdot 10^3 \text{ см}^{-3}; M_{Pl} = 1.2 \cdot 10^{19} \text{ ГэВ}; \\ &\quad \rho_c = 1.88 \cdot 10^{-29} h^2 \frac{\Gamma}{\text{см}^2} \setminus = \\ &= \frac{3 \cdot 10^{-10}}{(\sigma_0 / \text{ГэВ}^{-2}) \sqrt{g_*(t_f)}} \ln \left[ \frac{g_X}{(2\pi)^{3/2}} \sigma_0 M_X M_{Pl}^* \right] \frac{1}{2h^2} \star \end{aligned} \quad (8.32)$$

Уравнение (8.32) перепишем как уравнение для  $\sigma_0$ :

$$\sigma_0 = \frac{1}{\Omega_X} \times \frac{3 \cdot 10^{-10}}{\sqrt{g_*(t_f)}} \ln \left[ \frac{g_X}{(2\pi)^{3/2}} \sigma_0 M_X M_{Pl}^* \right] \frac{1}{2h^2} \quad (8.33)$$

$\Omega_X = 0.26$  – известно.

$g_* = 10 \div 100$  – в зависимости от  $T_f$

Как же найти численную величину  $\sigma_0$ , если ни  $M_X$ , ни  $g_*$  точно не известны?

(8.33) решается методом итераций (4 итерации дают 6 значащих цифр):

$$\begin{aligned} M_X = 1 \text{ ГэВ} &\Rightarrow \sigma_0 = (0.76 \div 2.5) \cdot 10^{-8} \text{ ГэВ}^{-2} \\ M_X = 100 \text{ ГэВ} &\Rightarrow \sigma_0 = (0.82 \div 2.7) \cdot 10^{-8} \text{ ГэВ}^{-2} \\ M_X = 10 \text{ ТэВ} &\Rightarrow \sigma_0 = (0.88 \div 2.9) \cdot 10^{-8} \text{ ГэВ}^{-2} \end{aligned} \quad (8.34)$$

$$\sigma_0 \sim a^2 \sim \frac{1}{M_X^2} \Rightarrow M_X \sim \frac{1}{\sqrt{\sigma_0}} \sim 10 \text{ ТэВ} \quad (8.35)$$

$\Rightarrow$  Тяжелая частица. Тяжелая частица со слабым взаимодействием – WIMP.

В современную эпоху, для астофизических  $n_X$ :

$$\tau_{ann} = \frac{1}{n_X} \frac{1}{\langle \sigma_{ann} v \rangle} \quad (8.36)$$

$$r_{ann} = \frac{1}{\tau_{ann}} \times n_X = n_X^2 \langle \sigma_{ann} v \rangle \quad (8.37)$$

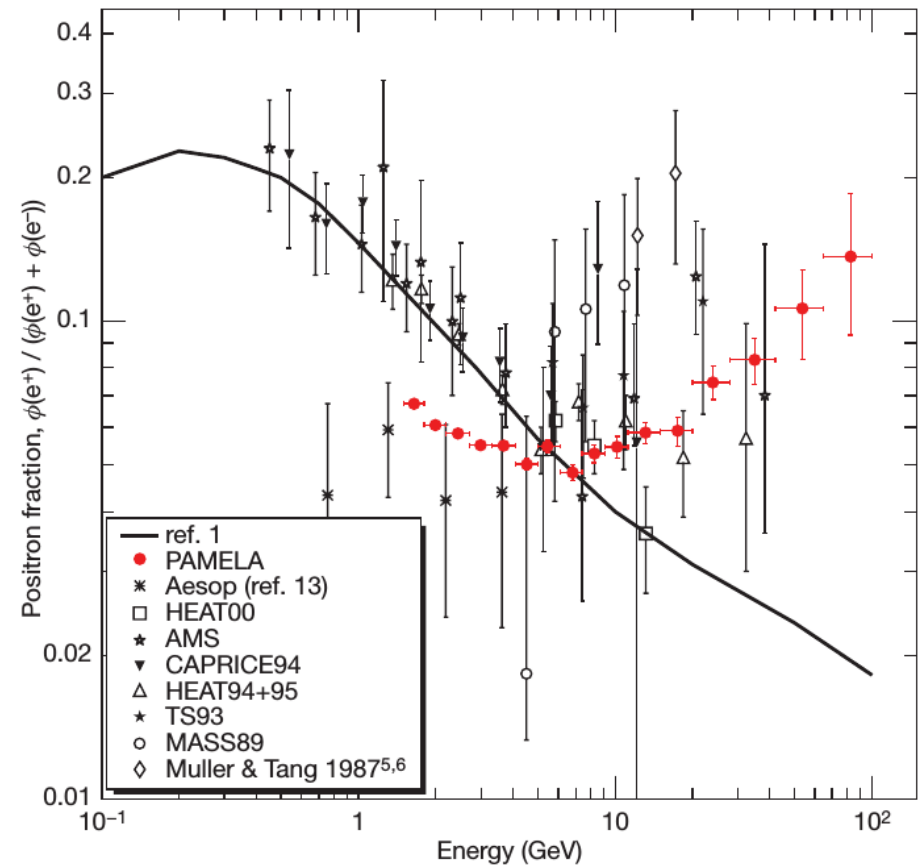
$$\langle \sigma_{ann} v \rangle = \sigma_0 \sim 10^{-8} \text{ ГэВ}^{-2} \quad (8.38)$$

Это значение используется для вычисления сигнала аннигиляции темной материи в современных условиях.

$n_X$  зависит от того, куда смотрим: внутренние области Галактики, внешние области, каспы и т.д.

*Физика космических лучей и гамма-астрономия:*

- Поиск гамма-линии аннигиляции частиц темной материи в спектрах космического гамма-излучения (десятки - сотни ГэВ).
- Поиск продуктов распада частиц темной материи (позитроны, антипротоны, гамма)
- Проблема избытка позитронов в космических лучах.



**Figure 2 | PAMELA positron fraction with other experimental data and with secondary production model.** The positron fraction measured by the PAMELA experiment compared with other recent experimental data (see refs 5–7, 11–13, 30, and references within). The solid line shows a calculation<sup>1</sup> for pure secondary production of positrons during the propagation of cosmic rays in the Galaxy without reacceleration processes. Error bars show 1 s.d.; if not visible, they lie inside the data points.

Nature, V. 458 (2009), P.607-609

Сечения (8.38) на 2-3 порядка не хватает, чтобы объяснить наблюдаемый поток позитронов в космических лучах  $\Rightarrow$  нужен «буст-фактор»  $100 \div 1000$ .

# Рекомбинация электронов и последнее рассеяние фотонов

## Температура рекомбинации

Энергия связи электрона в водороде 13.6 эВ.  
Температура рекомбинации масштаба 13 эВ?

- Предполагаем, что все ядра – протоны.
- Предполагаем, что рекомбинация идет равновесно.
- $T \sim 10$  эВ  $\Rightarrow p^+$  и  $e^-$  – нерелятивистские

$$n_e = g_e \left( \frac{m_e T}{2\pi} \right)^{3/2} e^{(\mu_e - m_e)/T}; \quad g_e = 2 \quad (8.39)$$

$$n_p = g_p \left( \frac{m_p T}{2\pi} \right)^{3/2} e^{(\mu_p - m_p)/T}; \quad g_p = 2 \quad (8.40)$$

$$n_H = g_H \left( \frac{m_H T}{2\pi} \right)^{3/2} e^{(\mu_H - m_H)/T}; \quad g_H = 4 \quad (8.41)$$

1. Температура рекомбинации определяется условием:

$$\boxed{n_p(T_r) = n_H(T_r)} \quad (8.42)$$

Это одно уравнение, но неизвестных 4:

$T_r, \mu_e, \mu_p, \mu_H$

Нужно еще 3 уравнения.

2. Сохранение  $n_B$ :

$$n_p + n_H = n_B = \eta_B n_\gamma(T) \quad (8.43)$$

$$\eta_B \approx (6.1 \times 0.75) \cdot 10^{-10} \quad (8.44)$$

$$n_\gamma(T) = 2 \frac{\zeta(3)}{\pi^2} T^3 \Rightarrow \quad (8.45)$$

$$n_p + n_H = 6.1 \cdot 10^{-10} \cdot 2 \frac{\zeta(3)}{\pi^2} T^3 \quad (8.46)$$

3. Химическое равновесие:

$$\mu_p + \mu_e = \mu_H \quad [p + e \leftrightarrow H + \gamma] \quad (8.47)$$

4. Электронейтральность (сохранение заряда)

$$n_p = n_e \quad (8.48)$$

Решение

$$n_p n_e = g_p g_e \left( \frac{m_p T}{2\pi} \right)^{3/2} \left( \frac{m_e T}{2\pi} \right)^{3/2} e^{(\mu_p + \mu_e - m_p - m_e)/T} \quad (8.49)$$

$$m_p + m_e = m_H + \Delta_H, \quad \Delta_H = 13.6 \text{ эВ} \quad (8.50)$$

(8.48), (8.47)  $\Rightarrow$

$$n_p^2 = g_p g_e \left( \frac{m_p T}{2\pi} \right)^{3/2} \left( \frac{m_e T}{2\pi} \right)^{3/2} e^{(\mu_H - m_H)/T} e^{-\Delta_H/T} \quad (8.51)$$

Из (8.41):

$$e^{(\mu_H - m_H)/T} = \frac{n_H}{g_H \left( \frac{m_H T}{2\pi} \right)^{3/2}} \Rightarrow \quad (8.52)$$

$$n_p^2 = \left( \frac{m_e T}{2\pi} \right)^{3/2} n_H e^{-\Delta_H/T} \quad (8.53)$$

К форме Саха:

$$X_p = \frac{n_p}{n_B}, \quad X_H = \frac{n_H}{n_B}, \quad X_p + X_H = 1 \quad (8.54)$$

Из (8.53)

$$X_p^2 \left( \frac{2\pi}{m_e T} \right)^{3/2} e^{\Delta_H/T} = X_H \frac{1}{n_B} = (1 - X_p) \frac{1}{n_B} \Rightarrow \quad (8.55)$$

$$X_p + n_B X_p^2 \left( \frac{2\pi}{m_e T} \right)^{3/2} e^{\Delta_H/T} = 1 \quad (8.56)$$

$$n_B = \eta_B \cdot 2 \frac{\zeta(3)}{\pi^2} T^3 \quad (8.57)$$

$$X_p + \frac{2\zeta(3)}{\pi^2} X_p^2 \eta_B \left( \frac{2\pi T}{m_e} \right)^{3/2} e^{\Delta_H/T} = 1 \quad (8.58)$$

$X_p = 0.5 \Rightarrow$

$$\frac{\zeta(3)}{\pi^2} \eta_B \left( \frac{2\pi T}{m_e} \right)^{3/2} e^{\Delta_H/T} = 1 \quad (8.59)$$

Малый множитель:

$$\eta_B \left( \frac{2\pi T}{m_e} \right)^{3/2} \sim 10^{-17} \Rightarrow \quad (8.60)$$

сразу видно, что  $T_r \ll \Delta_H$ .

Уравнение приводится к виду  $x = \ln(Ax^\alpha)$ :

$$\frac{\Delta_H}{T} = \ln \left[ \frac{\sqrt{\pi}}{\zeta(3)\eta_B 2\sqrt{2}} \left( \frac{m_e}{\Delta_H} \right)^{3/2} \left( \frac{\Delta_H}{T} \right)^{3/2} \right] \quad (8.61)$$

В логарифмическом порядке (первая итерация):

$$T_{rec}^{(1)} = 0.37 \text{ эВ} \quad (8.62)$$

Точное решение (метод итераций)

$$\boxed{T_{rec} = 0.321 \text{ эВ}} \quad (8.63)$$

Когда?

Красное смещение:

$$T(t) = T_0 \frac{a_0}{a(t)} = T_0(z+1) \Rightarrow \quad (8.64)$$

$$z_{rec} = \frac{T}{T_0} - 1 \approx 1370 \quad (8.65)$$

Красное смещение РД-ДМ перехода

$$z \approx 3 \cdot 10^3 \Rightarrow \quad (8.66)$$

Рекомбинация происходит на ДМ- (пылевидной) стадии.

$$t = \frac{2}{3H} \quad (8.67)$$

$$H^2 = \frac{8\pi}{3} G \rho \quad (\text{общее уравнение Фридмана}) \quad (8.68)$$

$$t_{rec} = \sqrt{\frac{1}{6\pi G \rho_M(t_{rec})}} = \sqrt{\frac{M_{Pl}^2}{6\pi \rho_M(T_{rec})}} \quad (8.69)$$

$$\begin{aligned}\rho_M(T_{rec}) &= \rho_B + \rho_{CDM} = \frac{\rho_B + \rho_{CDM}}{\rho_c} \frac{\rho_c}{\rho_B} \cdot \rho_B = \\ &= \frac{\Omega_M}{\Omega_B} \rho_B = \frac{\Omega_M}{\Omega_B} m_p n_B(T_{rec}) = \frac{\Omega_M}{\Omega_B} m_p \eta_B n_\gamma(T_{rec}) = \\ &= \frac{\Omega_M}{\Omega_B} m_p \eta_B \cdot 2 \frac{\zeta(3)}{\pi^2} T_{rec}^3 \Rightarrow \quad (8.70)\end{aligned}$$

(Здесь снова  $\eta_B = 6.1 \cdot 10^{-10}$ )

$$t_{rec} = \sqrt{\frac{\pi}{12\zeta(3)} \frac{\Omega_B}{\Omega_M} \frac{M_{Pl}^2}{\eta_B m_p T_{rec}^3}} \approx 350 \text{ тыс. лет} \quad (8.71)$$

**Каковы были химические потенциалы  $\mu_p, \mu_H, \mu_e$  на момент рекомбинации?**

$$\begin{cases} g_p \left( \frac{m_p T_{rec}}{2\pi} \right)^{3/2} e^{(\mu_p - m_p)/T_{rec}} = g_H \left( \frac{m_H T_{rec}}{2\pi} \right)^{3/2} e^{(\mu_H - m_H)/T_{rec}} \\ g_p \left( \frac{m_p T_{rec}}{2\pi} \right)^{3/2} e^{(\mu_p - m_p)/T_{rec}} = g_e \left( \frac{m_e T_{rec}}{2\pi} \right)^{3/2} e^{(\mu_e - m_e)/T_{rec}} \\ \mu_p + \mu_e = \mu_H \end{cases} \quad (8.72)$$

Решение ★:

$$\mu_p = m_p - \Delta_H + T_{rec} \ln \left[ \frac{1}{2} \left( \frac{m_e}{m_H} \right)^{3/2} \right] \quad (8.73)$$

$$\mu_e = m_e - \Delta_H + T_{rec} \ln \left[ \frac{1}{2} \left( \frac{m_p}{m_H} \right)^{3/2} \right] \quad (8.74)$$

$$\mu_H = m_H - \Delta_H + T_{rec} \ln \left[ \frac{1}{4} \left( \frac{m_e}{m_p} \right)^{3/2} \right] \quad (8.75)$$

Во всех случаях

$$\mu_i = m_i - \delta\mu_i; \quad \delta\mu_i \ll m_i \quad (8.76)$$

**Каков хим. потенциал атомов водорода сейчас?**

$$\begin{aligned}n_H \approx \eta_B n_\gamma &= \eta_B \cdot 2 \frac{\zeta(3)}{\pi^2} T_0^3 = \\ &= g_H \left( \frac{m_H T_0}{2\pi} \right)^{3/2} e^{(\mu_H - m_H)/T_0} \quad (8.77)\end{aligned}$$

$$e^{(\mu_H - m_H)/T_0} = \setminus g_H = 4 \setminus = \frac{1}{2} \eta_B \frac{\zeta(3)}{\sqrt{\pi}} \left( \frac{2T_0}{m_H} \right)^{3/2} \Rightarrow \quad (8.78)$$

$$\begin{aligned}\mu_H &= m_H + T_0 \ln \left[ \frac{1}{2} \eta_B \frac{\zeta(3)}{\sqrt{\pi}} \left( \frac{2T_0}{m_H} \right)^{3/2} \right] = \\ &= m_H - \delta\mu_H^0; \quad \delta\mu_H^0 = 1.5 \cdot 10^{-11} \text{ ГэВ} \quad (8.79)\end{aligned}$$

## Длительность рекомбинации

Диапазон температур, когда  $\exp(\Delta_H/T)$  отличается от  $\exp(\Delta_H/T_{rec})$  в  $e$  раз:

$$\left| \frac{\Delta_H}{T \pm \Delta T} - \frac{\Delta_H}{T_{rec}} \right| = 1 \Rightarrow \frac{\Delta T}{T_{rec}} \approx \frac{T_{rec}}{\Delta_H} = \frac{0.32}{13.6} \approx 0.02 \quad (8.80)$$

$$T = \frac{\text{const}}{a} \Rightarrow \frac{\Delta a}{a_{rec}} = \frac{\Delta T}{T_{rec}} = 0.02 \ll 1 \quad (8.81)$$

Время рекомбинации много меньше хаббловского времени.

## Последнее рассеяние фотонов (закалка фотонов)

Не то же самое, что рекомбинация – позже!

Томсоновское сечение рассеяния фотонов:

$$\sigma_T = \frac{8\pi}{3} \frac{\alpha^2}{m_e^2} \approx 0.67 \cdot 10^{-24} \text{ см}^2 \quad (8.82)$$

Время свободного пробега фотона по отношению к томсоновскому рассеянию:

$$\tau_\gamma = \frac{1}{\sigma_T n_e(T)} \quad (8.83)$$

Из (8.53):

$$\begin{aligned} n_e^2(T) &= n_p^2(T) = \left( \frac{m_e T}{2\pi} \right)^{3/2} n_H e^{-\Delta_H/T} = \\ &= \sqrt{n_H} \cong \eta_B \cdot n_\gamma \text{ т.к. рекомбинация} \\ &\text{практически завершена} \backslash = \\ &= \left( \frac{m_e T}{2\pi} \right)^{3/2} \eta_B \frac{2\zeta(3)}{\pi^2} T^3 e^{-\Delta_H/T} \quad (8.84) \end{aligned}$$

Время последнего рассеяния определяется

$$\tau_\gamma(T_f) \simeq \frac{1}{H(T_f)} \simeq t_f \quad (8.85)$$

$t_f$  мало отличается от  $t_{rec} = 350$  тыс. лет, поэтому для оценки  $T_f$  можно в правой части уравнения использовать  $t_{rec}$  вместо  $t_f$ :

$$\frac{1}{\sigma_T} \frac{1}{\left[ \left( \frac{m_e T_f}{2\pi} \right)^{3/2} \eta_B \frac{2\zeta(3)}{\pi^2} T_f^3 e^{-\Delta_H/T_f} \right]^{1/2}} = t_{rec} \quad (8.86)$$

$$e^{\Delta_H/T_f} = \sigma_T^2 t_{rec}^2 \left( \frac{m_e T_f}{2\pi} \right)^{3/2} \eta_B \frac{2\zeta(3)}{\pi^2} T_f^3 \quad (8.87)$$

$$\frac{\Delta_H}{T_f} = \ln \left[ \sigma_T^2 t_{rec}^2 \left( \frac{m_e T_f}{2\pi} \right)^{3/2} \eta_B \frac{2\zeta(3)}{\pi^2} T_f^3 \right] \quad (8.88)$$

В п.ч.  $T_f \rightarrow T_{rec} \Rightarrow$

$$\frac{\Delta_H}{T_f} \cong \ln \left[ \sigma_T^2 t_{rec}^2 \left( \frac{m_e T_{rec}}{2\pi} \right)^{3/2} \eta_B \frac{2\zeta(3)}{\pi^2} T_{rec}^3 \right] \quad (8.89)$$

$$T_{rec} = 0.32 \text{ эВ} \quad (8.90)$$

$$\eta_B = (0.75 \times 6.1) \cdot 10^{-10} \quad (8.91)$$

$$t_{rec} = 3.5 \cdot 10^5 \text{ лет} \Rightarrow \quad (8.92)$$

$$\boxed{T_f = 0.27 \text{ эВ}} \quad (8.93)$$

Аналогично (8.71)

$$t_f = \sqrt{\frac{\pi}{12\zeta(3)} \frac{\Omega_B}{\Omega_M} \frac{M_{Pl}^2}{\eta_B m_p T_f^3}} \approx 460 \text{ тыс. лет} \quad (8.94)$$

$$z_f = \frac{0.27 \text{ эВ}}{2.73 \times 8.6 \cdot 10^{-5} \text{ эВ}} = 1140 \approx 1100 \quad (8.95)$$

**Горизонт на момент последнего рассеяния**  
( $z \approx 1100$ )

Момент последнего рассеяния обычно отождествляют с рекомбинацией:  $f \rightarrow r$

Можно (довольно грубо) найти, считая, что Вселенная всегда была пылевидной:

$$l_{H,r} = \frac{2}{H_r(t_r)} \quad (8.96)$$

Из уравнения Фридмана:

$$H_r^2 = \frac{8\pi}{3} G \rho_M(t_r) \quad (8.97)$$

$$\rho_M(t_r) = \rho_{M,0} \left( \frac{a_0}{a_r} \right)^3 = \rho_{M,0} (1 + z_r)^3 \quad (8.98)$$

$$\rho_{M,0} = \rho_c \Omega_M \quad (8.99)$$

$$\begin{aligned} l_{H,r} &= \frac{2}{\sqrt{\frac{8\pi}{3} G \rho_c \Omega_M (1 + z_r)^3}} = \sqrt{\rho_c} = \frac{H_0^2}{\frac{8\pi}{3} G} = \\ &= \frac{2}{H_0 \sqrt{\Omega_M}} \frac{1}{(1 + z_r)^{3/2}} \end{aligned} \quad (8.100)$$

$$\boxed{l_{H,r} = \frac{2}{H_0 \sqrt{\Omega_M}} \frac{1}{(1 + z_r)^{3/2}}} \quad (8.101)$$

Сейчас этот размер растянут в  $a_0/a_r = 1 + z_r$  раз:

$$l_{H,r}(t_0) = \frac{2}{H_0} \frac{1}{\sqrt{\Omega_M(1+z_r)}} \quad (8.102)$$

Современный горизонт:

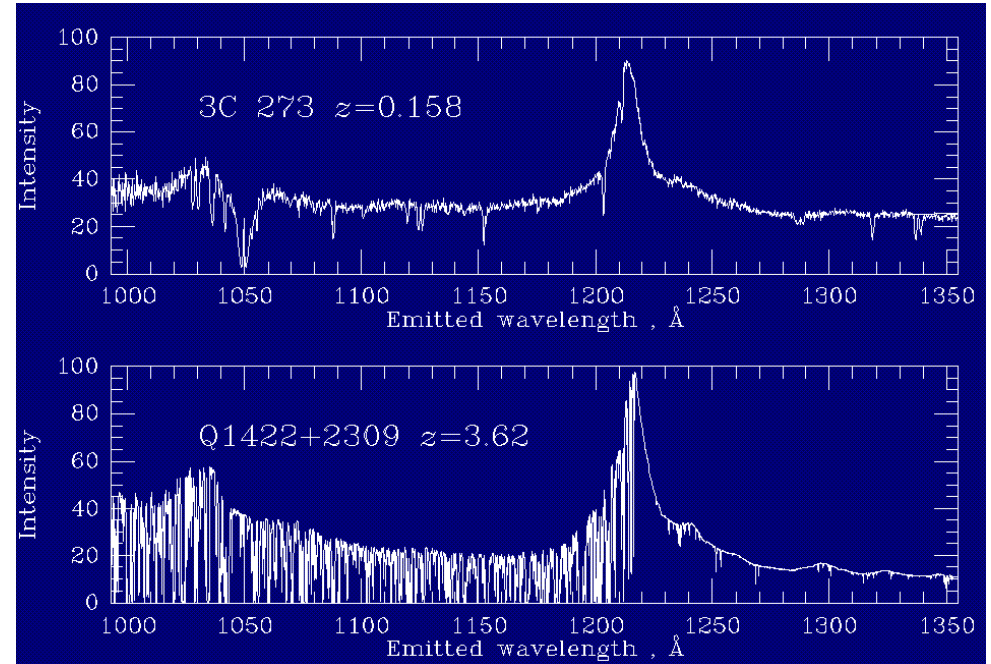
$$l_{H,0} = a_0 \int_0^{t_0} \frac{dt}{a(t)} = a_0 \int_0^{t_0} \frac{dt}{a_0 \left(\frac{\Omega_M}{\Omega_\Lambda}\right)^{1/3} \left[\text{sh}\left(\frac{3}{2}\sqrt{\Omega_\Lambda H_0 t}\right)\right]^{2/3}} = \frac{2}{H_0} \times 1.8 \quad (8.103)$$

Это в  $\sim 30$  раз больше, чем  $l_{H,r}(t_0)$  – видимая часть Вселенной содержит  $\sim 3 \cdot 10^4$  причинно не связанных областей на момент рекомбинации.

Отчего же микроволновой фон однороден с точностью  $\sim 10^{-4}$  везде? – «**проблема горизонта**».

## Эпоха реионизации

### Лайман-альфа-лес (Lyman-alpha forest) в спектрах квазаров



Основной пик –  $\text{Ly}_\alpha$ , Линии поглощения - тоже  $\text{Ly}_\alpha$



- $\text{Ly}_\alpha$ -линия поглощения сдвинутая разным красным смещением облаков водорода.
- Чем дальше квазар, тем гуще лес.
- При  $z > 6$  густота леса перестает расти. Почему?
- Куда делся водород, который создает линию поглощения  $\text{Ly}_\alpha$ , при  $z > 6$ ?

- Водород был ионизован!
- Реионизация водорода светом первых звезд (звездное население III типа),  
 $6 < z < 20$ ,  $150 \cdot 10^6 - 1000 \cdot 10^6$  лет.
- Остаточная оптическая толщина  $\tau \simeq 0.09 \pm 0.03$

### Краткая история Вселенной (13.8 млрд. лет)

| Событие                          | $T$                 | $z$                    | $t$                                 |
|----------------------------------|---------------------|------------------------|-------------------------------------|
| Горячий Большой взрыв            | —                   | —                      | 0                                   |
| GUT-переход (?)                  | $\sim 10^{16}$ ГэВ  | $\sim 10^{30}$         | $\sim 10^{-39}$ сек                 |
| Бариогенезис (?)                 | $\sim 10^{16}$ ГэВ  | $\sim 10^{30}$         | $\sim 10^{-39}$ сек                 |
| Электрослабый переход            | 100 ГэВ             | $10^{15}$              | $10^{-11}$ сек                      |
| Закалка темной материи (?)       | $0.05 \div 300$ ГэВ | $10^{11} \div 10^{15}$ | $2 \cdot 10^{-12} \div 10^{-4}$ сек |
| Адронизация: конфайнмент кварков | 170 МэВ             | $7 \cdot 10^{11}$      | $10^{-5}$ сек                       |
| Закалка нейтрино                 | 1.5 МэВ             | $5 \cdot 10^9$         | 0.3 сек                             |
| Закалка нейтронов                | 0.75 МэВ            | $3 \cdot 10^9$         | 1.2 сек                             |
| Нуклеосинтез                     | 65 кэВ              | $3 \cdot 10^9$         | 4.5 мин                             |

| Событие                     | $T$             | $z$         | $t$                     |
|-----------------------------|-----------------|-------------|-------------------------|
| РД $\rightarrow$ МД переход | 1 эВ            | 3000        | 120 тыс. лет            |
| Рекомбинация электронов     | 0.32 эВ         | 1370        | 350 тыс. лет            |
| Последнее рассеяние фотонов | 0.27 эВ         | 1140        | 460 тыс. лет            |
| Реионизация                 | $50 \div 15$ К° | $20 \div 6$ | $150 \div 1000$ млн.лет |
| Начало эры ДеСиттера        | $4.5$ К°        | 0.65        | 7.6 млрд.лет            |
| Сейчас                      | $2.73$ К°       | 0.0         | 13.8 млрд.лет           |